

Министерство высшего и среднего специального образования
У С С Р

Днепропетровский ордена Трудового Красного Знамени
металлургический институт

РГАСТИ 30.І9.І5

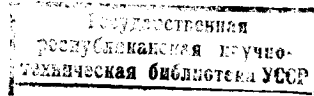
УДК 539.3:629.4.027.4

В.И. Моссаковский, В.П. Есаулов,
А.В. Сладковский

ОПРЕДЕЛЕНИЕ НАПРЯЖЕНИЙ В ПЛОСКОМ ДИСКЕ
ЖЕЛЕЗНОДОРОЖНОГО КОЛЕСА

Дн. 6 УкрНИИТИ 19.09.88

15c.



Днепропетровск 1988

2398-Ук 88

В настоящее время существует большое количество различных конструкций цельнокатаных железнодорожных колес, однако оптимальная конструкция таких колес не найдена и методика конструирования профиля колес отсутствует как в СССР, так и за рубежом. Объяснение данному факту следует прежде всего искать в отсутствии приемлемой методики теоретического исследования напряженно-деформированного состояния колес. В результате анализа литературных источников был сделан вывод о том, что наиболее приемлем для расчета колеса в целом метод конечных элементов, например [1], [2]. Тем не менее, для применения МКЭ существуют ограничения, связанные с объемом оперативной памяти ЭВМ и их быстродействием, так как при взаимодействии с рельсом колесо находится в условиях трехмерного напряженного состояния. Применение полуаналитического МКЭ позволяет упростить процесс моделирования задачи на ЭВМ. При этом необходимо тщательно следить за обеспечением точности решения, так как конечно-элементная дискретизация, применение ограниченного числа членов ряда Фурье, а также численное решение систем линейных уравнений большого (> 3000) порядка может вносить существенную погрешность. Поэтому для применения различных схем МКЭ желательно иметь точное решение какой-либо задачи, имеющей близкую расчетную схему.

Такой задачей может стать задача об определении напряжений в плоском диске постоянной толщины. Несмотря на то, что колеса с диском подобной формы не используются в народном хозяйстве, данная задача важна также для понимания работы диска железнодорожного колеса произвольной формы.

Рассмотрим расчетную схему задачи (рис. I). В силу значительного превышения толщины ступицы и обода по сравнению с

толщиной диска можно для упрощения постановки считать их жесткими. При этом диск моделируется кольцевой пластиной, жестко заделанной по внутреннему и внешнему контурам (на рис. I заштрихован). Внутренний контур неподвижен, а внешний под воздействием нагрузок может смещаться. Координатная система связана со ступицей колеса. Ось z направлена в сторону наружной поверхности диска. Вертикальная нагрузка P приложена к ободу (к поверхности катания) и в заданной системе координат является отрицательной. Осевая нагрузка T приложена к ободу (к гребню) и также является отрицательной. Нагрузка T создает момент M , изгибающий диск относительно оси y .

Решение общей задачи может быть представлено в виде суперпозиции трех решений: решения плоской задачи об упругом смещении внешнего контура под действием усилия P (назовем ее первой задачей); решения задачи об осесимметричном изгибе кольцевой пластины под действием равномерно распределенной нагрузки, приложенной к внешнему контуру, причем равнодействующий вектор усилия от данной нагрузки равен T (вторая задача); решения задачи об изгибе кольцевой пластины распределенной на внешнем контуре косинусоидальной нагрузкой, главный вектор которой равен нулю, а главный момент $M = TR^*$, где R^* – расстояние от оси y до гребня колеса (третья задача).

Рассмотрим первую задачу. Главный момент для нее равен нулю. Под действием главного вектора на внешнем контуре он смещается параллельно себе на величину Δ , заранее неизвестную (осадка колеса). Для кругового кольца может быть поставлена вторая основная задача по Н.И. Мусхелишвили [3]. То есть на всей границе заданы условия в перемещениях. Необходимо найти комплексные функции ψ и ψ , зависящие от комплексного пере-

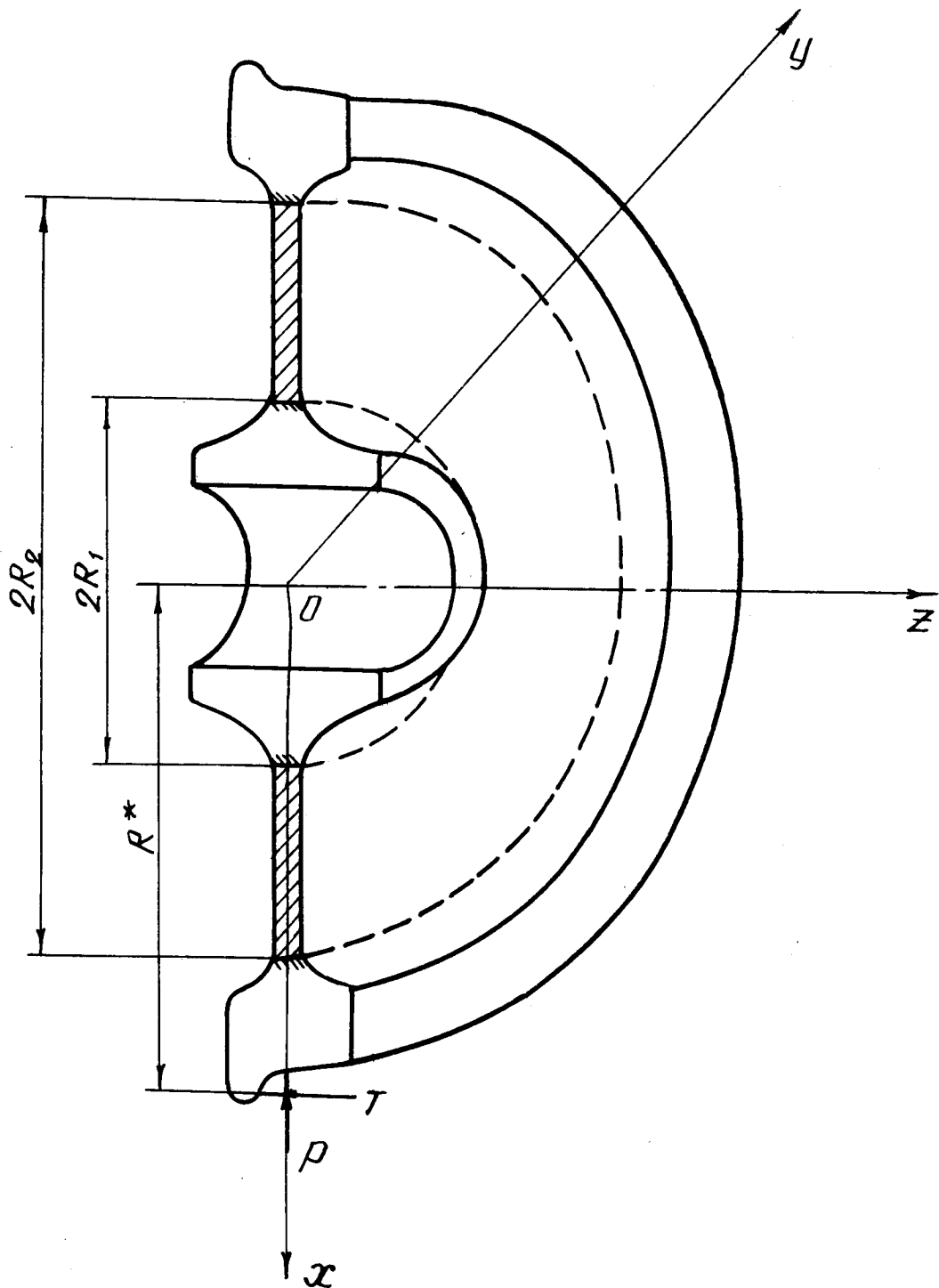


Рис. I. Расчетная схема задачи о деформировании
плоского диска железнодорожного колеса

менного $z = x + iy = re^{i\theta}$, для которых на границе \mathcal{L} задано условие

$$\alpha \psi(z) - z \overline{\psi'(z)} - \overline{\psi(z)} = 2\mu(g_1 + ig_2). \quad (1)$$

Граница \mathcal{L} является совокупностью внутреннего \mathcal{L}_1 и внешнего \mathcal{L}_2 контуров. В формуле (1) параметры α и μ для обобщенного плоского напряженного состояния равны

$$\mu = \frac{E}{2(1+\nu)}, \quad (2)$$

$$\alpha = \frac{3-\nu}{1+\nu}, \quad (3)$$

где E – модуль упругости первого рода, ν – коэффициент Пуассона. Для принятой модели функции g_i на контурах \mathcal{L}_i равны

$$g_1 = 0, \quad g_2 = 0 \quad \text{на } \mathcal{L}_1, \quad (4)$$

$$g_1 = \Delta, \quad g_2 = 0 \quad \text{на } \mathcal{L}_2 \quad (5)$$

В соответствии с методикой Н.И. Мусхелишвили [3] решение задачи будем искать в виде

$$\psi(z) = \gamma \ln z + \psi^*(z), \quad (6)$$

$$\psi(z) = \gamma' \ln z + \psi^*(z), \quad (7)$$

где из условия однозначности смещений константы γ и γ' связаны соотношением

$$\alpha \gamma + \gamma' = 0, \quad (8)$$

а голоморфные функции $\psi^*(z)$ и $\psi(z)$ могут быть представлены в виде рядов Фурье

$$\psi^* = \sum_{-\infty}^{\infty} a_k z^k, \quad \psi^* = \sum_{-\infty}^{\infty} a'_k z^k. \quad (9)$$

Задача нахождения функций ψ и ψ' сводится к необходимости определения постоянных γ , γ' и коэффициентов рядов a_k и a'_k , так чтобы функции ψ и ψ' в виде (6), (7) удовле-

творяли граничному условию (I) на контурах L_1 . Переходя к полярным координатам и находя сопряженные величины получим

$$\psi(z) = \tilde{\gamma}_r'(lnr + i\theta) + \sum_{-\infty}^{\infty} a_k r^k e^{i\theta k}, \quad (I0)$$

$$\bar{\psi}(z) = \bar{\gamma}'(lnr - i\theta) + \sum_{-\infty}^{\infty} \bar{a}'_k r^k e^{-i\theta k}. \quad (II)$$

Подставляя соотношения (I0), (II) в граничное условие (I) и учитывая, что точки, находящиеся на контурах L_1 и L_2 , описываются как

$$z = R_1 e^{i\theta} \quad \text{и} \quad z = R_2 e^{i\theta},$$

получим два уравнения в рядах

$$\alpha \left[\tilde{\gamma}_r'(lnR_1 + i\theta) + \sum_{-\infty}^{\infty} a_k R_1^k e^{i\theta k} \right] - R_1 e^{i\theta} \left[\bar{\gamma}' R_1^{-1} e^{i\theta} + \sum_{-\infty}^{\infty} \bar{a}'_k R_1^{k-1} e^{-i\theta(k-1)} \right] - \bar{\gamma}'(lnR_1 - i\theta) - \sum_{-\infty}^{\infty} \bar{a}'_k R_1^k e^{-i\theta k} = 0, \quad (I2)$$

$$\alpha \left[\tilde{\gamma}_r'(lnR_2 + i\theta) + \sum_{-\infty}^{\infty} a_k R_2^k e^{i\theta k} \right] - R_2 e^{i\theta} \left[\bar{\gamma}' R_2^{-1} e^{i\theta} + \sum_{-\infty}^{\infty} \bar{a}'_k R_2^{k-1} e^{-i\theta(k-1)} \right] - \bar{\gamma}'(lnR_2 - i\theta) - \sum_{-\infty}^{\infty} \bar{a}'_k R_2^k e^{-i\theta k} = 2\mu\Delta. \quad (I3)$$

Для того, чтобы равенства (I2), (I3) были справедливы, необходимо приравнять нулю коэффициенты при θ и $e^{i\theta k}$. При этом получим

$$\alpha \tilde{\gamma}_r' + \bar{\gamma}' = 0. \quad (I4)$$

Учитывая условие (8), можно сделать вывод о том, что $\tilde{\gamma}_r'$ и $\bar{\gamma}'$ - действительные числа.

Выписав коэффициенты при нулевой степени θ из соотношений (I2), (I3), приравняв их нулю и вычитая из одного уравнения другое, получим

$$\tilde{\gamma}'(lnR_1 - lnR_2) + \bar{a}_2(R_1^2 - R_2^2) = \mu\Delta. \quad (I5)$$

Так как все величины, входящие в соотношение (I5), являются действительными, то для α_2 справедливо

$$\alpha_2 = \bar{\alpha}_2 = (\mu\Delta - \gamma'_1 \ln \frac{R_1}{R_2}) \frac{1}{R_1^2 - R_2^2}. \quad (I6)$$

Выписав коэффициенты при $e^{2i\theta}$, приравняв нулю, домножив первое из уравнений на R_1^2 , а второе на R_2^2 и вычитая, получим для γ'_1

$$\gamma'_1 = \alpha \alpha_2 (R_1^2 + R_2^2). \quad (I7)$$

Подставив в (I7) α_2 из (I6) и используя условие (8), получим окончательно для

$$\gamma'_1 = \frac{\mu\Delta \alpha (R_1^2 + R_2^2)}{C}, \quad (I8)$$

где

$$C = R_1^2 - R_2^2 - \alpha^2 (R_1^2 + R_2^2) \ln \frac{R_1}{R_2}. \quad (I9)$$

Тогда

$$\gamma'_1 = - \frac{\mu\Delta \alpha^2 (R_1^2 + R_2^2)}{C}. \quad (20)$$

Из (I7) и (I8) найдем α_2

$$\alpha_2 = \frac{\mu\Delta}{C}, \quad (21)$$

а для α'_{-2} , получим

$$\alpha'_{-2} = - \frac{\alpha \mu\Delta R_1^2 R_2^2}{C}. \quad (22)$$

При выводе (22) учтено, что $\alpha'_{-2} = \bar{\alpha}'_{-2}$.

Найдем остальные коэффициенты рядов Фурье. Выпишем коэффициенты при $e^{Ki\theta}$

$$\alpha \alpha_K R_1^K - (2-K) \bar{\alpha}_{2-K} R_1^{2-K} - \bar{\alpha}'_{-K} R_1^{-K} = 0, \quad (23)$$

$$\alpha \alpha_K R_2^K - (2-K) \bar{\alpha}_{2-K} R_2^{2-K} - \bar{\alpha}'_{-K} R_2^{-K} = 0. \quad (24)$$

Домножим (23) на R_1^K , а (24) на R_2^K и вычтем из (23).

Тогда

$$\alpha \alpha_K (R_1^{2K} - R_2^{2K}) - (2-K) \bar{\alpha}_{2-K} (R_1^2 - R_2^2) = 0. \quad (25)$$

Так как в уравнении (25) K может принимать любые значения кроме $K=0$ (случай рассмотрен ранее), то можно произвести замену K на $2-K$. В результате получим

$$\alpha \alpha_{2-K} (R_1^{2(2-K)} - R_2^{2(2-K)}) - K \bar{\alpha}_K (R_1^2 - R_2^2) = 0. \quad (26)$$

Уравнения (25) и (26) представляют систему для нахождения коэффициентов α_K и $\bar{\alpha}_{2-K}$. За исключением случаев $K=0$ и $K=2$ при $R_1 \neq R_2$ ее определитель не равен нулю. Следовательно, система может иметь только тривиальное решение, таким образом

$$\dots, \alpha_{-2}, \alpha_{-1}, \alpha_0, \alpha_3, \alpha_4, \dots = 0, \quad (27)$$

Подставляя (27) в (23), получим аналогичные соотношения для коэффициентов α'_K

$$\dots, \alpha'_{-4}, \alpha'_{-3}, \alpha'_{-1}, \alpha'_0, \alpha'_1, \dots = 0. \quad (28)$$

Таким образом, неопределенными остались лишь коэффициенты α_0 и α'_0 . Для их определения приравняем нулю коэффициент при нулевой степени ρ в уравнении (12), откуда

$$\alpha \alpha_0 - \bar{\alpha}'_0 = 2\gamma' \ln R_1 + 2\alpha_2 R_1^2. \quad (29)$$

Воспользуемся тем, что один из коэффициентов ряда может быть выбран произвольно. Положим $\alpha_0 = 0$. Тогда

$$\alpha'_0 = \frac{2\mu\Delta}{C} [\alpha^2 (R_1^2 + R_2^2) \ln R_1 - R_1^2]. \quad (30)$$

Подставляя в соотношения (6), (7), (9) найденные коэффициенты, запишем искомые функции

$$\psi(z) = \frac{\mu\Delta}{C} [\alpha (R_1^2 + R_2^2) \ln z + z^2], \quad (31)$$

$$\psi(z) = \frac{\mu\Delta}{C} \left[-\alpha^2 (R_1^2 + R_2^2) \ln z + 2\alpha^2 (R_1^2 + R_2^2) \ln R_1 - 2R_1^2 - \frac{\alpha R_1^2 R_2^2}{z^2} \right]. \quad (32)$$

Для нахождения неизвестного смещения Δ воспользуемся соотношением, полученным в [3] из условий равновесия

$$\gamma_1 = -\frac{x_1 + iy_1}{2\pi(1+\alpha)}, \quad (33)$$

где x_1, y_1 - главный вектор усилий на контуре L_1 . Подставляя γ_1 из (18), получим для Δ

$$\Delta = \frac{CP}{2\mu\pi(1+\alpha)\alpha(R_1^2+R_2^2)h}, \quad (34)$$

где h - толщина диска.

Определим решение задачи I в напряжениях в полярной системе координат r, θ . По формулам Мусхелишвили [3]

$$\sigma_r + \sigma_\theta = 2 [\varphi(z) + \overline{\varphi(z)}], \quad (35)$$

$$\sigma_r - \sigma_\theta + 2i\tau_{r\theta} = 2 [\bar{z}\varphi'(z) + \psi(z)] e^{2i\theta}, \quad (36)$$

где σ_r, σ_θ - радиальные и окружные нормальные напряжения и $\tau_{r\theta}$ - тангенциальные напряжения

$$\varphi(z) = \psi'(z), \quad \psi(z) = \psi'(z). \quad (37)$$

Используя выражения (31), (32) и учитывая (37), получим из (35), (36) следующие соотношения

$$\begin{aligned} \sigma_r = \frac{\mu\Delta}{C} & \left[3 \frac{\alpha(R_1^2+R_2^2)}{r} + 2r + \frac{\alpha^2(R_1^2+R_2^2)}{r} - \right. \\ & \left. - 2\alpha R_1^2 R_2^2 \frac{1}{r^3} \right] \cos\theta, \end{aligned} \quad (38)$$

$$\begin{aligned} \sigma_\theta = \frac{\mu\Delta}{C} & \left[\frac{\alpha(R_1^2+R_2^2)}{r} + 5r - \frac{\alpha^2(R_1^2+R_2^2)}{r} + \right. \\ & \left. + 2\alpha R_1^2 R_2^2 \frac{1}{r^3} \right] \cos\theta, \end{aligned} \quad (39)$$

$$\begin{aligned} \tau_{r\theta} = \frac{\mu\Delta}{C} & \left[\frac{\alpha(R_1^2+R_2^2)}{r} + 2r - \frac{\alpha^2(R_1^2+R_2^2)}{r} - \right. \\ & \left. - 2\alpha R_1^2 R_2^2 \frac{1}{r^3} \right] \sin\theta. \end{aligned} \quad (40)$$

Далее рассмотрим сначала третью задачу. Существует решение аналогичной задачи об изгибе круглой кольцевой плиты с подкрепленным внутренним и жестко заделанным внешним краем, приведенное в монографии Г.Н. Савина и Н.Н. Флейшмана [4].

Момент M приложен к внутреннему контуру. Для случая жесткого внутреннего контура решение имеет вид

$$\omega = - \left\{ \frac{MR_2}{8\pi D} \left[(1-2C_1) \frac{r}{R_2} + (C_1 - 1) \frac{r^3}{R_2^3} + 2 \frac{r}{R_2} \ln \frac{r}{R_2} + C_1 \frac{R_2}{r} \right] + B \left[2 \frac{r}{R_2} - \frac{r^3}{R_2^3} - \frac{R_2}{r} \right] \right\} \cos \theta, \quad (41)$$

где

$$C_1 = \frac{3+\nu-\gamma^2(1+\nu)}{3+\nu+\gamma^4(1-\nu)}, \quad (42)$$

$$B = - \frac{MR_2}{4\pi D} \cdot \frac{\gamma^2(\gamma^2-1)}{(\gamma^2+1)[3+\nu+\gamma^4(1-\nu)]}. \quad (43)$$

В формулах (41) - (43) γ - отношение радиусов, D - цилиндрическая жесткость пластиинки, ω - прогиб

$$\gamma = \frac{R_2}{R_1}, \quad D = \frac{Eh^3}{12(1-\nu^2)}. \quad (44)$$

Угол поворота обода относительно неподвижной ступицы ζ имеет вид

$$\zeta = - \left(\frac{\omega}{r \cos \theta} \right)_{r=R_1} = - \frac{M_2}{8\pi D} \left[(1-2C_1) \frac{1}{\gamma} + (C_1 - 1) \frac{1}{\gamma^3} - \frac{2}{\gamma} \ln \gamma + C_1 \gamma \right] + \frac{B}{R_1} \left[\frac{2}{\gamma} - \frac{1}{\gamma} - \gamma \right]. \quad (45)$$

Для нахождения напряжений изгиба необходимо вычислить изгибающие моменты M_r , M_θ , $H_{r\theta}$. Воспользуемся формулами теории оболочек в полярных координатах

$$M_r = -D \left(\frac{\partial^2 \omega}{\partial r^2} + \frac{\nu}{r} \frac{\partial \omega}{\partial r} + \frac{\nu}{r^2} \frac{\partial^2 \omega}{\partial \theta^2} \right), \quad (46)$$

II

$$M_\theta = -D \left(\frac{1}{r} \frac{\partial \omega}{\partial r} + \frac{1}{r^2} \frac{\partial^2 \omega}{\partial \theta^2} + \nu \frac{\partial^2 \omega}{\partial r^2} \right), \quad (47)$$

$$H_{r\theta} = -(1-\nu)D \left(\frac{1}{r} \frac{\partial^2 \omega}{\partial r \partial \theta} - \frac{1}{r^2} \frac{\partial \omega}{\partial \theta} \right). \quad (48)$$

Напряжения в диске определяются по формулам

$$\sigma_r = \frac{12\zeta}{h^3} M_r, \quad (49)$$

σ_θ , $\tau_{r\theta}$ определяются аналогично. То есть, подставляя в (49) выражение (46) и находя частные производные от ω , можно получить аналитические выражения для напряжений. Необходимо при этом учесть, что в силу заданной расчетной схемы необходимо знак M изменить на противоположный.

Для задачи 2 также существует решение в перемещениях. После преобразований, сводящих решение [4] к поставленной задаче, получим выражение для прогибов

$$\omega = -\frac{\tau R_2^2}{8\pi D(\gamma^2-1)} \left\{ \left[\frac{\gamma^2+1}{2} - 1 + \ln \gamma \right] \left(1 - \frac{r^2}{R_2^2} \right) - \left[2 \ln \gamma + (\gamma^2-1) \frac{r^2}{R_2^2} \right] \ln \frac{R_2}{r} \right\}. \quad (50)$$

Прогибы ω не зависят от θ , как и должно быть для осесимметричной задачи, поэтому для нахождения моментов по формулам (46) – (48), частные производные по θ в них заменяются обычными, а производные по r равны нулю. Напряжения

σ_r , σ_θ , $\tau_{r\theta}$ находятся по формуле (49). Суперпозиция решений задач I-3 дает общее решение задачи об определении напряженного состояния диска железнодорожного колеса при его взаимодействии с рельсом.

На рис. 2 представлены графики напряжений в плоском диске при действии нагрузок $P = -15$ т, $T = -8$ т для вертикального сечения колеса (угол $\theta = 0^\circ$ и 180°). Толщина $h = 20$ мм,

радиус диска у ступицы $R_1 = 14,5$ см, радиус диска у обода $R_2 = 39$ см, расстояние $R^* = 48$ см. Сплошная линия соответствует радиальным напряжениям σ_r , пунктирная — окружным σ_θ . Тангенциальные напряжения $\tau_{r\theta}$ в данном сечении отсутствуют. Максимум $\sigma_r = 587$ МПа находится на внешней поверхности диска в сечении $\theta = 0^\circ$. В том же сечении, но на внутренней поверхности, находится минимум $\sigma_r = -618$ МПа. Максимум тангенциальных напряжений $\tau_{r\theta}$ находится в сечении $\theta = 90^\circ$ ($\theta = 270^\circ$) и равен 55 МПа. Окружные напряжения σ_θ подобны σ_r по характеру распределения, но имеют меньшие экстремальные значения.

Рассмотрение каждой задачи I–З в отдельности позволило сделать вывод, что максимальный вклад в общую картину напряжений вносит решение задачи З, в то время как задача I оказывает малое влияние. Поэтому в том случае, если боковое усилие, действующее на колесо, является незначительным или частота его воздействия мала, то создание колес с малым отклонением от плоской формы диска является целесообразным. В противном случае, который чаще всего реализуется в практике железнодорожного транспорта, необходимо за счет смещения ступицы относительно обода компенсировать влияние изгибающего момента от действия бокового усилия.

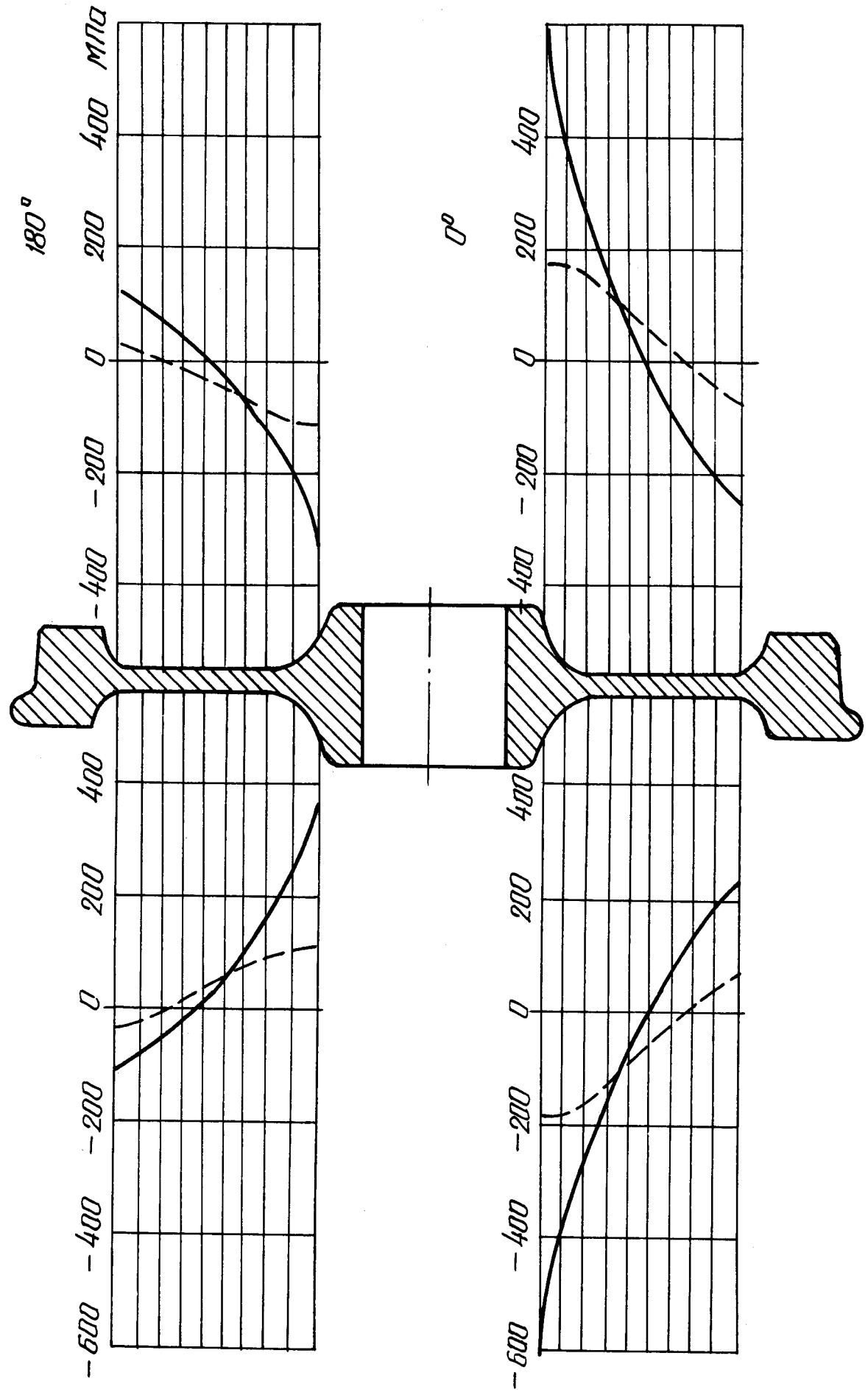


Рис. 2. Распределения напряжений в плоском диске

Л и т е р а т у р а

1. Рузин, Клешульте, Кофлин. Применение метода конечных элементов для расчета усовершенствованных конструкций колес железнодорожных вагонов // Конструирование.- М.: Мир, 1979.- Т. 101.- № 3.- С. 220 - 227.
2. Альтенбах И., Андреев А.Г., Фриче Г. Расчет напряжений и деформаций в вагонных колесах // Динамика и прочность машин.- Харьков, 1978.- Вып. 28.- С. 126 - 133.
3. Мусхелишвили Н.И. Некоторые основные задачи математической теории упругости.- М.: Наука, 1966.- 708 с.
4. Савин Г.Н., Флейшман Н.П. Пластинки и оболочки с ребрами жесткости.- Киев: Наукова думка, 1964.

ПЕЧАТАЕТСЯ В СООТВЕТСТВИИ С РЕШЕНИЕМ УЧЕНОГО
СОВЕТА ЭНЕРГОМЕХАНИЧЕСКОГО ФАКУЛЬТЕТА
ДНЕПРОПЕТРОВСКОГО МЕТАЛЛУРГИЧЕСКОГО ИНСТИТУТА
ОТ 20 МАЯ 1988 ГОДА